

## МАТЕМАТИЧЕСКОЕ ОПИСАНИЕ НЕЛИНЕЙНОЙ ДИНАМИЧЕСКОЙ СИСТЕМЫ ТЕЛЕЖКА - ОБРАТНЫЙ МАЯТНИК

**Введение.** Новые задачи управления сложными кинематическими механизмами обусловлены появлением робототехнических систем нетривиальной конструкции, к которым относятся роботы избыточной структуры, шагающие и многоколесные механизмы, маятнико-подобные и гироскопические системы. Несмотря на ограниченные функциональные возможности таких систем, они оказываются вполне пригодны для решения целого ряда специфических задач. К последним относятся задачи стабилизации положения управляемого конечного звена манипуляционного робота [2],[3],[4] или робота нетривиальной конструкции (типа маятника на подвижной основе, например, маятника Фуруты), задачи стабилизации центра тяжести шагающего механизма, стабилизации положения многоканальной гироскопической системы, а также соответствующие задачи поддержания их колебательных движений или траекторного управления. В качестве объекта управления рассматривается перевернутый или обратный маятник (ОМ) (рис. 1), т.е. стержень, зафиксированный относительно тележки с возможностью колебаний в продольно-вертикальной плоскости. Тележка способна перемещаться вдоль горизонтальной плоскости под действием управляющей силы.

**Постановка задач исследования.** Цель работы - получение математического описания перевернутого маятника, пригодного для разработки эффективных алгоритмов и структур релейных систем автоматического регулирования положения и угла отклонения обратного маятника (САРП-ОМ и САРУ-ОМ), обеспечивающих высокую точность удержания стержня маятника в вертикальном положении во всех возможных режимах позиционирования тележки (минимизация статической и динамической ошибок), а также квазиинвариантность к координатным и параметрическим возмущениям.

**Материалы исследования.** Рассмотрим перевернутый маятник, показанный на рис. 1, а [1]. Ось маятника монтируется на тележке, которая может перемещаться в горизонтальном направлении. Тележка приводится в движение небольшим двигателем, который в момент времени  $t$  прикладывает к тележке силу  $\mu(t)$ , являющуюся входной переменной системы. На рис. 1, б представлены силы и перемещения. В момент времени  $t$  перемещение оси характеризуется функцией  $s(t)$ , а угловое отклонение маятника - функцией  $\varphi(t)$ . Масса маятника обозначена буквой  $m$ ,  $L$  - расстояние между осью и центром тяжести,  $J$  - момент инерции относительно центра тяжести,  $M$  - масса тележки. К маятнику приложена сила  $mg$  в центре тяжести, а также горизонтальная  $H(t)$  и вертикальная  $V(t)$  силы реакции у оси маятника. Здесь  $g$  - ускорение силы тяжести.

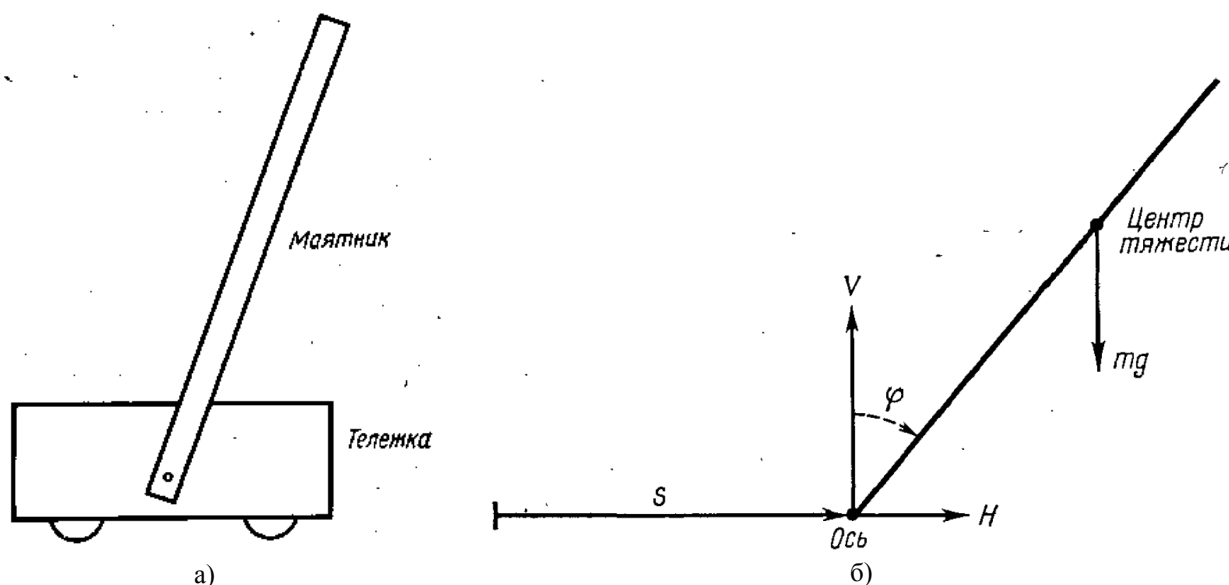


Рис. 1. Перевернутый маятник

Для системы справедливы следующие уравнения:

$$m \frac{d^2}{dt^2} (s(t) + L \sin \varphi(t)) = H(t); \quad (1)$$

$$m \frac{d^2}{dt^2} (L \cos \varphi(t)) = V(t) - mg; \quad (2)$$

$$J \frac{d^2 \varphi(t)}{dt^2} = LV(t) \sin \varphi(t) - LH(t) \cos \varphi(t); \quad (3)$$

$$M \frac{d^2 s(t)}{dt^2} = \mu(t) - H(t) - F \frac{ds(t)}{dt}. \quad (4)$$

Трение учитывается только при движении тележки; в уравнении (4)  $F$  - коэффициент трения. Трение оси маятника не учитывается. После преобразования дифференциальных уравнений (1) и (2) имеем

$$m\ddot{s}(t) + mL\ddot{\varphi}(t) \cos \varphi(t) - mL\dot{\varphi}^2(t) \sin \varphi(t) = H(t); \quad (5)$$

$$-mL\ddot{\varphi}(t) \sin \varphi(t) - mL\dot{\varphi}^2(t) \cos \varphi(t) = V(t) - mg; \quad (6)$$

$$J\ddot{\varphi}(t) = LV(t) \sin \varphi(t) - LH(t) \cos \varphi(t); \quad (7)$$

$$M\ddot{s}(t) = \mu(t) - H(t) - F\dot{s}(t). \quad (8)$$

С целью упрощения уравнений предположим, что масса  $m$  мала по сравнению с  $M$ , и поэтому пренебрежем горизонтальной реакцией  $H(t)$  на движение тележки. Это позволяет заменить (8) уравнением

$$M\ddot{s}(t) = \mu(t) - F\dot{s}(t). \quad (9)$$

Исключая  $H(t)$  и  $V(t)$  из уравнений (5) - (7), получим

$$(J + mL^2)\ddot{\varphi}(t) - mgL \sin \varphi(t) + mL\ddot{s}(t) \cos \varphi(t) = 0. \quad (10)$$

Производя почленное деление на  $J + mL^2$ , найдём

$$\ddot{\varphi}(t) - \frac{g}{L'} \sin \varphi(t) + \frac{1}{L'} \ddot{s}(t) \cos \varphi(t) = 0, \quad (11)$$

где

$$L' = \frac{J + mL^2}{mL}. \quad (12)$$

Эта величина называется эффективной длиной маятника, так как движение математического маятника длиной  $L'$  также описывается уравнением (11).

Выберем в качестве номинального решение  $\mu(t) \equiv 0$ ,  $s(t) \equiv 0$ ,  $\varphi(t) \equiv 0$ . Линеаризацию легко выполнить, разлагая  $\sin \varphi(t)$  и  $\cos \varphi(t)$  в ряды Тейлора и подставляя в уравнение (11) только первые члены рядов. Линеаризация (11) приводит к уравнению

$$\ddot{\varphi}(t) - \frac{g}{L'} \varphi(t) + \frac{1}{L'} \ddot{s}(t) = 0. \quad (13)$$

В качестве компонент вектора состояния  $\mathbf{x}(t)$  выбираем

$$\begin{cases} \xi_1(t) = s(t) + L'\varphi(t); \\ \xi_2(t) = \dot{s}(t) + L'\dot{\varphi}(t); \\ \xi_3(t) = s(t); \\ \xi_4(t) = \dot{s}(t). \end{cases} \quad (14)$$

Первая компонента состояния представляет собой линеаризованную аппроксимацию перемещения точки маятника, находящейся на расстоянии  $L'$  от оси. Функцию  $\xi_1$  рассматривают как перемещение маятника. При выбранных обозначениях из (9) и (13) определим линеаризованное уравнение состояния

$$\begin{cases} \dot{\xi}_1(t) = \xi_2(t); \\ \dot{\xi}_2(t) = \frac{g}{L'} (\xi_1(t) - \xi_3(t)); \\ \dot{\xi}_3(t) = \xi_4(t); \\ \dot{\xi}_4(t) = \frac{1}{M} \mu(t) - \frac{1}{M} H(t) - \frac{F}{M} \xi_4(t), \end{cases} \quad (15)$$

которое в векторно-матричной форме имеет вид:

$$\dot{\mathbf{x}}(t) = \begin{bmatrix} 0 & 1 & 0 & 0 \\ \frac{g}{L'} & 0 & -\frac{g}{L'} & 0 \\ 0 & 0 & 0 & 1 \\ 0 & 0 & 0 & -\frac{F}{M} \end{bmatrix} \mathbf{x}(t) + \begin{bmatrix} 0 \\ 0 \\ 0 \\ \frac{1}{M} \end{bmatrix} \mu(t). \quad (16)$$

Ниже параметрам системы присваиваются следующие значения:

$M = 0,9$  - масса тележки, кг;  $m = 0,1$  - масса маятника, кг;  $L_1 = 0,47$  - длина маятника, м;

$L = 0,235$  - расстояние от конца маятника до его центра масс, м;  $J = 0,0053$  - момент инерции маятника, кг·м<sup>2</sup>;  $F = 0,05$  - коэффициент трения, Н/м·сек.

В соответствии с полученными параметрами ОУ и его математическим описанием с использованием пакетов расширения системы Matlab (Matrix Laboratory - матричная лаборатория) проведём предварительное исследование нелинейной динамической системы тележка - обратный маятник. Для этого в пакете моделирования динамических систем Simulink в соответствии с нелинейными дифференциальными уравнениями (5) - (8) составим цифровые математические модели механической системы тележка - обратный маятник. На рис. 2 представлена указанная модель.

Осуществляя линеаризацию созданной модели, а также средства пакета Control System Toolbox системы Matlab, получим диаграммы логарифмических амплитудно- и фазо-частотных характеристик (ЛАЧХ и ЛФЧХ), диаграммы Найквиста, карты распределения нулей и полюсов, а также переходные характеристики динамической системы тележка - обратный маятник от входа  $\mu(p)$  к выходам  $s(p)$  и  $\varphi(p)$ . Указанные характеристики представлены на рис. 3 - рис. 6 соответственно.

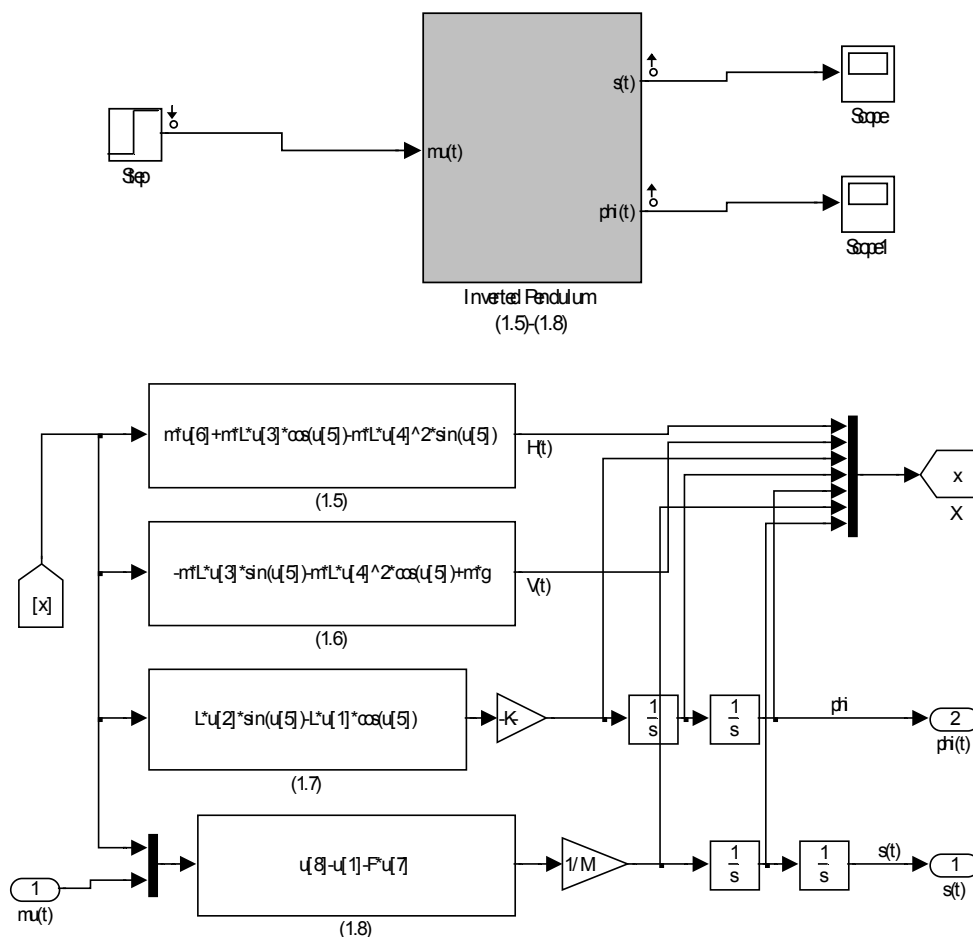


Рис. 2. Цифровая математическая модель системы тележка - обратный маятник

Наличие правого полюса, отсутствие запасов устойчивости по амплитуде и фазе, а также расходящаяся переходная характеристика позволяют однозначно судить о том, что система тележка - перевернутый маятник как объект управления является неустойчивой.

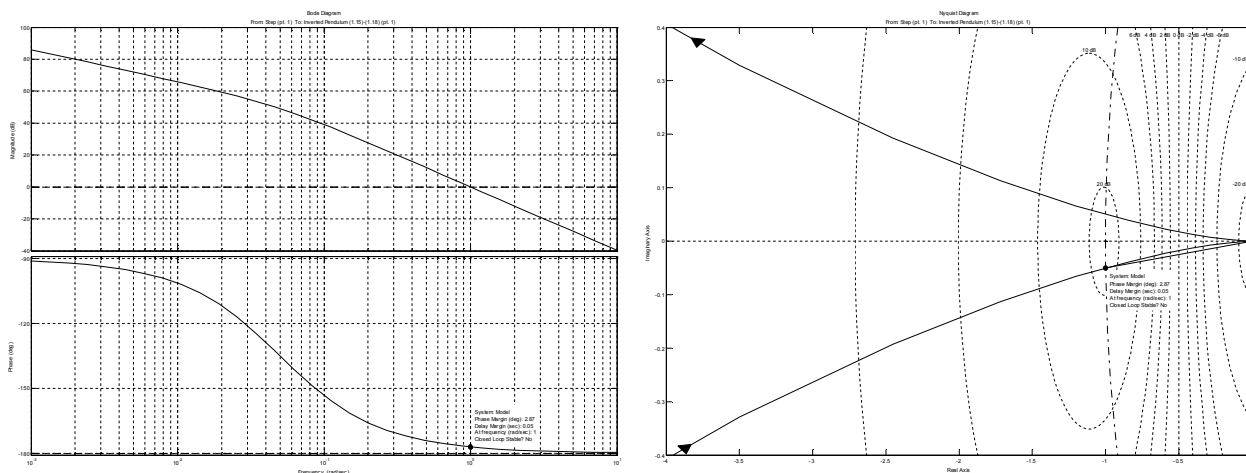


Рис. 3. ЛАЧХ, ЛФЧХ и диаграмма Найквиста системы по выходу  $s$

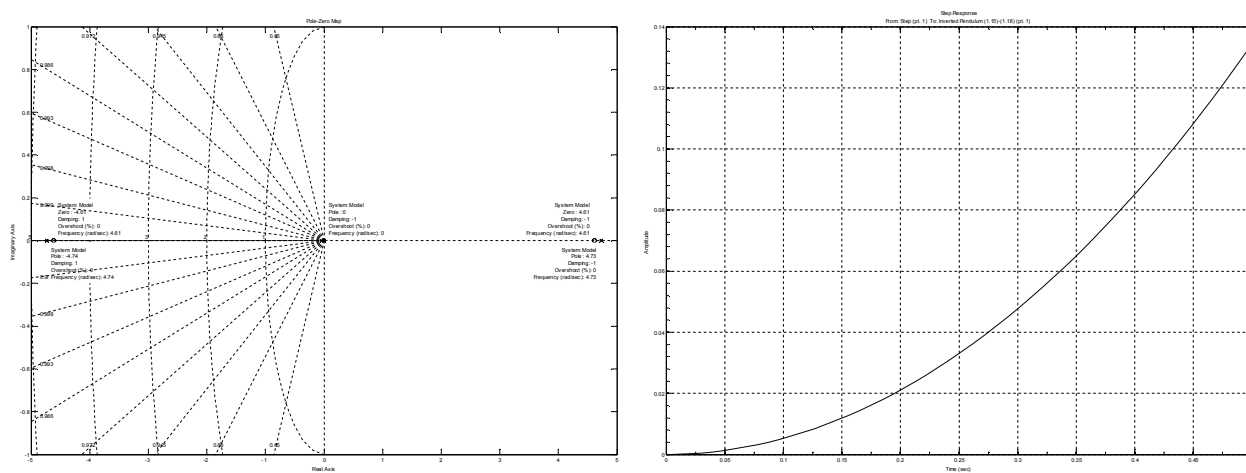


Рис. 4. Карта распределения корней и ПХ системы по выходу  $s$

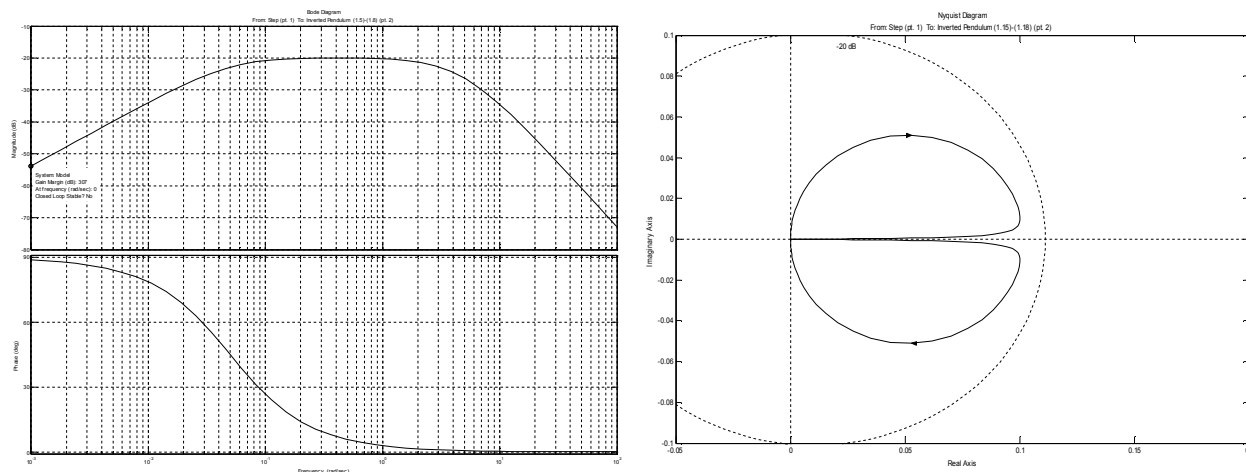


Рис. 5. ЛАЧХ, ЛФЧХ и диаграмма Найквиста системы по выходу  $\varphi$

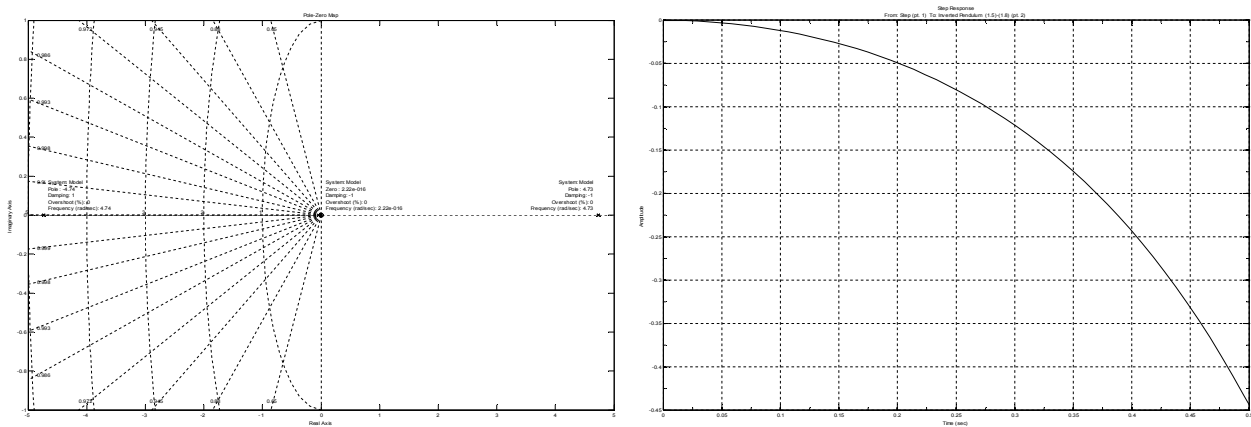


Рис. 6. Карта распределения корней и ПХ системы по выходу  $\varphi$

Следует отметить, что если в качестве управляемых координат выбрать не компоненты вектора  $\xi = \begin{bmatrix} s(p) + L'\varphi(p) \\ \dot{s}(p) + L'\dot{\varphi}(p) \\ s(p) \\ \dot{s}(p) \end{bmatrix}$  (см. (14)), а координаты вектора  $x = [s(p) \ \dot{s}(p) \ \varphi(p) \ \dot{\varphi}(p)]^T$ , как это делают большинство

разработчиков систем регулирования, то это, во-первых, усложняет математическое описание линеаризованной системы

$$\begin{bmatrix} \dot{s}(p) \\ \ddot{s}(p) \\ \dot{\varphi}(p) \\ \ddot{\varphi}(p) \end{bmatrix} = \begin{bmatrix} 0 & 1 & 0 & 0 \\ 0 & \frac{-(J + ml^2)b}{J(M + m) + Mml^2} & \frac{m^2gl^2}{J(M + m) + Mml^2} & 0 \\ 0 & 0 & 0 & 1 \\ 0 & \frac{-mlb}{J(M + m) + Mml^2} & \frac{mgl(M + m)}{J(M + m) + Mml^2} & 0 \end{bmatrix} \begin{bmatrix} s(p) \\ \dot{s}(p) \\ \varphi(p) \\ \dot{\varphi}(p) \end{bmatrix} + \begin{bmatrix} 0 \\ \frac{J + ml^2}{J(M + m) + Mml^2} \\ 0 \\ \frac{ml}{J(M + m) + Mml^2} \end{bmatrix} \mu(p)$$

и саму процедуру синтеза, основанную на этой модели, поскольку матрица  $A$  менее разрежена, и что не менее важно вектор управлений  $b$  имеет два ненулевых компонента; во-вторых, как это следует из «физики» внутренних процессов самой системы, стабилизация положения тележки  $s$ , а не положения центра масс маятника  $\xi_1 = s + L'\varphi$  неизбежно приведёт к ухудшению качества переходных процессов внутренних координат, в том числе и угла отклонения маятника, вызывая их повышенную колебательность. Кроме того, сама процедура синтеза релейных алгоритмов управления, которые будут использованы в дальнейшем для стабилизации выбранных координат системы, вообще не разработана для систем, имеющих в векторе управлений  $b$  более одного ненулевого компонента.

**Выводы.** По результатам проделанной работы можно сказать, что:

1. Объектом управления САРП-ОМ и САРУ-ОМ является нелинейная нестационарная динамическая система тележка - обратный маятник.
2. Получены матричные дифференциальные уравнения и структурные схемы, описывающие движение перевёрнутого маятника. Эти уравнения являются исходными для структурного синтеза релейной САРП-ОМ и САРУ-ОМ.
3. Полученные распределения нулей и полюсов, диаграммы ЛАЧХ и ЛФЧХ, диаграммы Найквиста, а также переходные характеристики позволяют говорить о том, что исследуемая система без контуров регулирования как объект управления по обоим выходам является неустойчивой.

#### Литература.

1. Кватернак Х, Сиван Р. Линейные оптимальные системы управления. - М.: Мир, 1977. - 653 с.
2. Зенкевич С.Л., Ющенко А.С. Управление роботами. Основы управления манипуляционными роботами. М.: МГТУ им. Н.Э. Баумана. 2000.
3. Бурдаков С.Ф., Мирошник И.В., Стельмаков Р.Э. Системы управления движением колесных роботов. СПб: Наука. 2001.
4. Мирошник И.В., Никифоров В.О., Шиегин В.В. Управление движением кинематически избыточных манипуляционных роботов // Изв. РАН: Теория и системы управления. 2001. №1.